

淡水水界面の安定度と混合特性について

東北工業大学 正員 阿部至雄

1. はしがき

淡水二層流の定常状態における界面現象については、界面の安定不安定、混合、連行、界面抵抗などを水理学的に理解することが、今日の主要な研究課題となっている。本報告は、形成領域と発達領域における界面の安定度と混合特性について、既往の速度変動と塩分濃度変動との実験結果^{1), 2)}および玉井³⁾が乱れ速度の観点から行った際の取扱いに基づき、界面およびその付近の乱流的性格に着目して考察を試みるものである。

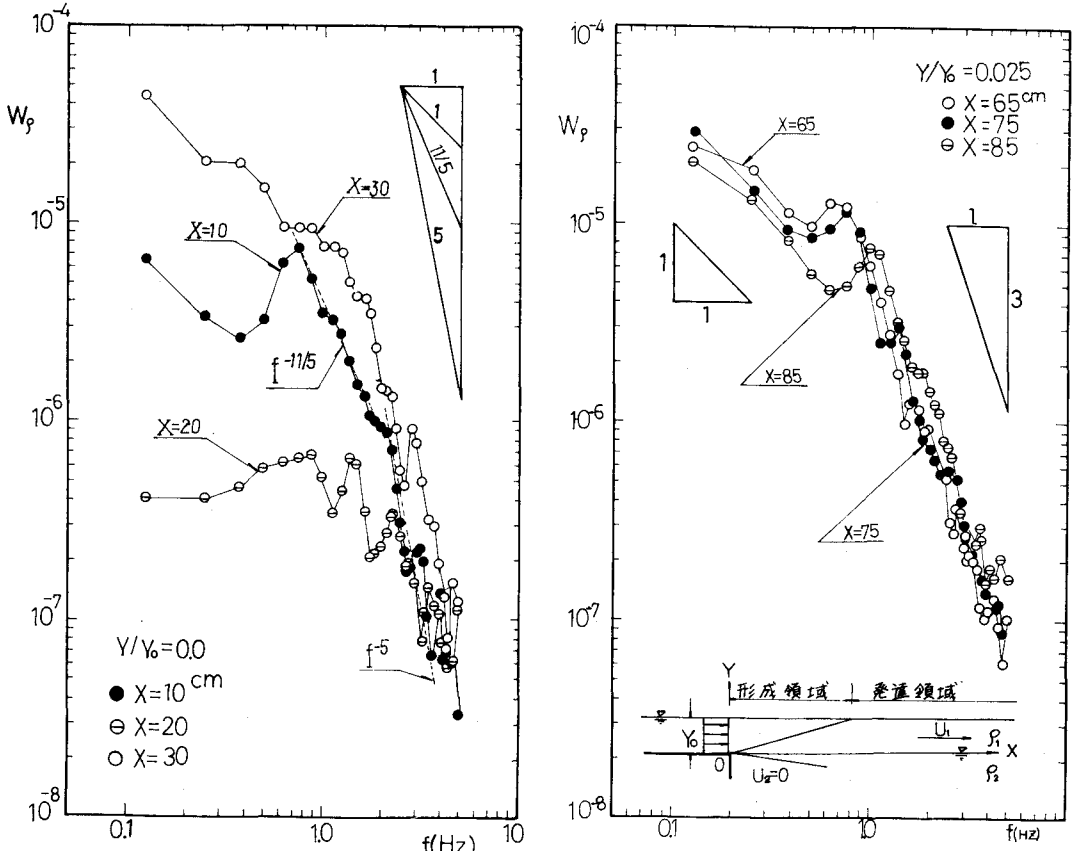
2. 界面の安定度

淡水水界面に生じる界面波は、みかけの重力 $(\Delta\rho/\rho)g$ とBrunt-Väisälä振動数 $N = (-g\rho^{-1}\partial\rho/\partial y)^{1/2}$ とに支配されると考え、周波数に対する界面波の変位スペクトル $P_w(f)$ と次元考察により求めると、

形成領域: $P_w(f) = \alpha_1 (\frac{\Delta\rho}{\rho} g)^2 N^4 f^{-1}$; ($f_1 \ll f \ll f_2$: 低周波域) … (1), $P_w(f) = \beta_1 (\frac{\Delta\rho}{\rho} g)^2 N^4 f^{-5}$; ($f_2 \ll f \ll f_3$: 高周波域) … (2)

発達領域: $P_w(f) = \alpha_2 (\frac{\Delta\rho}{\rho} g)^2 N^4 f^{-1}$; ($f_1 \ll f \ll f_2$: 低周波域) … (3), $P_w(f) = \beta_2 (\frac{\Delta\rho}{\rho} g)^2 N^4 f^{-3}$; ($f_2 \ll f \ll f_3$: 高周波域) … (4)

ここに、 α, β : 比例定数, $\Delta\rho$: 密度差, g : 重力の加速度, f_1, f_2, f_3 : 界面波の特性振動数で、 f_1 は存在する界面波の最大周期, f_2 は最小周期に対応するものである。なお、周波数のべき数は、濃度分布の変曲点が界面の性質を表わすので、界面(相対高さ $Y/Y_0 = 0$, Y_0 : 流出端淡水深)での濃度変動の実験結果から、 $P_w(f) = W_p(f)$ (濃度変動のスペクトル)として決定した。



(a) 形成領域± ($0 \leq X < 64$ cm)

(b) 発達領域± ($64 \text{ cm} \leq X$)

図-1 流程による濃度のスペクトル変化

$$\text{形成領域} : E = \left(\frac{\Delta\rho}{\rho}\right)^2 N^{-4} \left\{ \alpha_1 \log \frac{k_2}{k_1} + \frac{\beta_1}{4} \bar{u}^{-4} k_2^{-4} - \frac{\beta_1}{4} \bar{u}^{-4} k_3^{-4} \right\} \dots\dots (7)$$

$$\text{発達領域} : E = \left(\frac{\Delta\rho}{\rho}\right)^2 N^{-2} \left\{ \alpha_2 \log \frac{k_2}{k_1} + \frac{\beta_2}{4} \bar{u}^{-2} k_2^{-2} - \frac{\beta_2}{2} \bar{u}^{-2} k_3^{-2} \right\} \dots\dots (8)$$

ただし、 \bar{u} : 平均流速, k : 波数 (rad/cm), k_1, k_2, k_3 はそれぞれ巾周波数 f_1, f_2, f_3 に対応する。

つまり、淡水水の場合であるので、 $\Delta\rho/\rho \ll 1$ であり、内部フルード数 F_{ri} と Brunt-Väisälä 振動数 N とリーチャードソン数 J を表わし、安定な界面波の波数の最大値 (ほぼ卓越波長と考えらる) と k_2 とし、さうに H と流速分布と有する層の厚さ (拡散幅に相当する) とすれば、

$$\left. \begin{aligned} F_{ri}^2 &= \bar{u}^2 / \left\{ \left(\frac{\Delta\rho}{\rho}\right) H \right\} \\ N &= \bar{u} J^2 / H \\ k_2 &= J / H \end{aligned} \right\} \dots\dots (9)$$

密度混合に關する限り、式(7), (8)の右辺の第2項のみが支配的と考えられるので、式(9)と用いて、このときの密度混合に關するエネルギー E_M とすると、

$$\text{形成領域} : E_M / H^2 = \frac{\beta_1}{4} J^2 \dots\dots (10), \quad \text{発達領域} : E_M / H^2 = \frac{\beta_2}{4} J^{-1} \dots\dots (11)$$

となり、密度混合によって消費されるエネルギーはリーチャードソン数に逆比例することにはなるが、その特性は形成領域と発達領域では異なると考えられる。

他方、乱れ速度の混合に關するエネルギー E'_M は、玉井³⁾の検討によれば次のようである。

$$E'_M / \bar{u}^2 = \frac{1}{2} AC J^{-1} \dots\dots (12)$$

ここに、 A : Kolmogoroff のスペクトル定数, C : 乱流プラントル数の逆数である。

この式(12)と用いて、式(10)と式(11)のスペクトルの強さに関係する未定係数 β と決定すると、

$$\text{形成領域} : \beta_1 = 2ACJ \dots\dots (13), \quad \text{発達領域} : \beta_2 = AC \dots\dots (14)$$

となり、形成領域では、界面の状態すなわち Flow Regime の変化に伴ってスペクトルの強さが変わることになるが、発達領域では一定とすることが帰結される。この点、図-1 に示した実験結果とよく実証している。

すると、式(10)と式(11)は、

$$\text{形成領域} : E_M / H^2 = \frac{1}{2} AC J^{-1} \dots\dots (15), \quad \text{発達領域} : E_M / H^2 = \frac{1}{4} AC J^{-1} \dots\dots (16)$$

となり、形成領域では、上層から移行する乱れ速度の混合に關するエネルギーは、全て密度混合のために消費されることになるが、発達領域では乱れ速度の混合に關すると考えられているエネルギーの一部は、渦が浮力に抗して仕事とする(すなわち、図-1(b)にツーンズ⁴⁾は、 $1H$ 前後の波数 k_2 に対応する卓越周波数が $X=65cm$ から $85cm$ に進む間に、高周波数側へ移動し、スペクトルの強さが減少することであり、換言すれば、大スケールの渦が密度勾配のためにそのスケールを減じるのに使用されていることになる。

4. あとがき

界面の安定度と混合特性は、塩水侵入規模の推算すなわち界面の状態による界面抵抗の算定との、出水時の河口における河積と確保する際の損失エネルギーの見積り、さらには取水問題などに使連しており、界面現象の乱流的性格と知ることは重要だ。今後一層の検討を要するところである。

最後に、本報告を草するにあたり、東北大学教授 岩崎敏夫先生に御指導、ご協力、厚く感謝の意を表します。

参考文献

- 1) 岩崎二郎 (1969) : 淡水水界面付近の乱れの測定, 第16回海講, PP163~169
- 2) 岩崎二郎 (1970) : 淡水二層流における乱れ拡散に關する研究(1), 第17回海講, PP343~347
- 3) 玉井西村 (1973) : 成層流境界面における内部波および混合の特性に關する一考察, 第17回水講, PP32~37